

Psocoptères de la Côte d'Ivoire

(2^e note)

par

André BADONNEL

ABSTRACT

Psocoptera from Ivory Coast.—Seven species of Psocoptera are mentioned for the first time from Ivory Coast, two of them are described as new: *Palaeoseopsis loebli* and *Ptycta cruciata*. Complementary descriptions are given for *Pachytroctes dichromoscelis* (♂, winged ♀), *Nepticulomima hoesemanni* and *Archipsocus longicornis*.

Les Psocoptères de la Côte d'Ivoire n'étaient connus jusqu'à présent que par les récoltes de la mission Paulian-Delamare (1945); leur étude a été publiée en 1949 (BADONNEL); 27 espèces, dont 15 inédites, y sont mentionnées; un ♂ d'une 28^e espèce, *Embidopsocus minor* (Pearman) a été cité depuis (BADONNEL 1974). En 1977, le Dr Löbl, du Muséum d'Histoire naturelle de Genève, a réalisé au cours d'une mission une petite collection dont il m'a confié l'étude; elle comprend 11 espèces, parmi lesquelles 4 seulement ont été mentionnées en 1949 (*Nepticulomima hoesemanni*, *Pachytroctes dichromoscelis*, *Pachytroctes bicoloripes* et *Archipsocus ghesquieri*); des 7 autres, 5 étaient déjà connues d'Afrique équatoriale; 2 sont inédites et décrites dans la présente note, avec le ♂ et la ♀ ailée, inconnus jusqu'à présent, de *P. dichromoscelis*; des compléments sont en outre donnés sur la ♀ de *N. hoesemanni* et sur *Archipsocus longicornis*.

J'exprime mes vifs remerciements au Dr Löbl, ainsi qu'à la Direction de la Revue suisse de Zoologie, qui a accepté de publier ce travail. La collection a été renvoyée au Musée d'Histoire naturelle de Genève, avec les types des nouvelles espèces. Notations et mensurations sont celles de mes travaux antérieurs.

ESPÈCES NOUVELLES POUR LA CÔTE D'IVOIRE

Famille AMPHIENTOMIDAE ENDERLEIN

Palaeoseopsis loebli n. sp., ♀

Coloration (en alcool). — Tête: fond ocre-orangé, avec dessins irréguliers brun rouge conformes à la figure 1 et un X brun pâle à bras larges, apparaissant plus nettement après éclaircissement; yeux noirs; antennes brun marron; palpes maxillaires:

1^{er} et 2^e articles incolores, base du 3^e brunâtre, tiers basal et moitié distale du 4^e brun sombre dégradé. Lobes dorsaux mésothoraciques et scutellum brun marron atténué, le scutellum à limites brun sombre; tg III comme les lobes dorsaux II; pattes: hanches brunes, trochanters pâles, fémurs brun très sombre sur la moitié ou les deux tiers de leur longueur, le reste incolore; tibias: T_I incolore, T_{II} pâle avec un anneau brun au tiers distal, T_{III} brun sauf aux extrémités incolores; aile antérieure (fig. 2): presque toutes les écailles tombées et une partie du tiers distal déchirée (l'aile gauche est plus mutilée); tégument brun marron, très sombre dans la cellule sous-costale basale, plus ou moins estompé dans les autres cellules, avec une bande pâle en arrière de la cellule sous-costale, une autre le long de cu_2 , prolongée jusqu'à la base de l' AP ; une zone pâle marginale diffuse à l'apex des cellules R_1 et R_{2+3} ; nervures brunes dans la moitié distale, ainsi que cu_2 , les autres très pâles (les deux an invisibles); aile postérieure (même fig.): presque incolore, excepté la cellule sous-costale et une zone basale, brunes. Abdomen brunâtre très pâle, moucheté de brun rouille (pigment épidermique); PSG seule fortement colorée en brun (fig. 5).

Morphologie. — Yeux volumineux (cf. fig. 1); 3 ocelles rapprochés; sensilles du bord distal du labre (fig. 3): rang postéro-distal avec les deux sensilles trichodes fins, un peu en avant des placoides; rang antéro-distal de 6 forts sensilles trichodes; lacinia: fig. 4; P_4 avec 8 sensilles hyalins fins, dont 2 claviformes latéraux, les autres trichodes. Aile antérieure (fig. 2): nervation semblable à celle de *P. flexuosa* Badonnel, 1955, les nervures an reconnaissables seulement à un fort grossissement; différence: absence du segment de rs reliant le tronc radial à l'origine du pédoncule de la fourche radiale, où l'on observe l'ébauche de ce segment (même caractère dans l'aile postérieure); écailles de la surface alaire nettement tronquées apicalement; pattes: F_I avec une herse de 45/46 épines inégales, non articulées sur un pore; un fort éperon génual et un petit latéral à l'apex de F_{II} et F_{III} ; éperons apicaux des tibias: 2 (T_I), 2 + 2 (T_{II}), 4 + 2 (T_{III}); éperons latéraux: 3 (T_{II}), 16 (T_{III}); sur les t_1 : 2/3 préapicaux et 2 apicaux (P_I), 2 préapicaux et 2 apicaux (P_{II}), 9 latéraux et 2 apicaux, plus un rang de 33 cténidiobothries (P_{III}); griffes comme celles de *P. flexuosa*. Genitalia: PSG (fig. 5) avec processus sclérifié interne (détail fig. 6); gonapophyses fig. 7; sclérite du 9^e sternite (fig. 8) prolongé par deux crêtes fusionnées en une lame sagittale terminée par un bec. Apex abdominal: paraproctes sans disque sensoriel nettement délimité; à son emplacement une dizaine de soies fines inégales, dont deux avec une ébauche de rosette basale.

Dimensions. — Longueur du corps (en alcool) 3,3 mm; aile antérieure 3,56 mm; aile postérieure 2,68. Antenne: f_1 280, f_2 304, f_3 368, f_4 360, f_5 256, f_6 200. Patte postérieure: F 800, T 1298, t_1 848, t_2 119 (en μ).

Origine. — Adiopodoumé, à 17 km à l'est d'Abidjan, 5.III.1977, 1 ♀, holotype, capturée à la lumière. L'espèce est dédiée à son collecteur.

Discussion. — Espèce voisine de *P. flexuosa*; en diffère par les dessins de la tête, où manquent les 3 bandes transversales brun chocolat du front de *flexuosa*, par la coloration entièrement brune des cellules R_{4+5} et M_1 de l'aile antérieure, la réduction de la zone incolore de l'apex de la cellule R_1 , l'absence du segment transversal de rs et enfin par la présence du sclérite de la PSG , absent chez *flexuosa*. Il y a aussi des différences entre les dimensions et les nombres d'épines des pattes, inférieurs chez *P. loebli*, mais seule la comparaison d'échantillons importants des deux espèces permettrait de savoir si ces différences sont significatives.

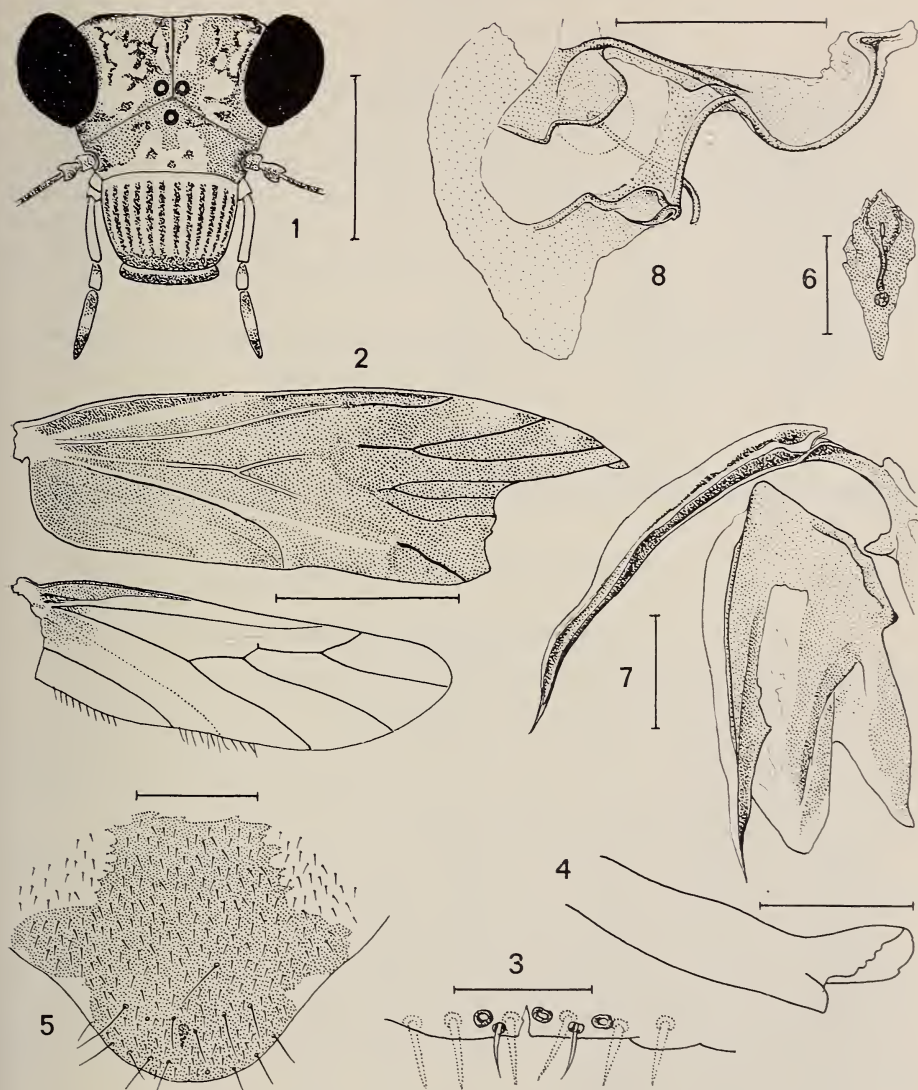


FIG. 1 à 8.

Palaeoseopsis loebli n. sp., ♀: 1. tête vue de face; 2. ailes droites; 3. sensilles du bord distal du labre, les postérieurs en trait plein, les antérieurs en pointillé; 4. apex de la lacinia; 5. plaque subgénitale; 6. sclérite de cette plaque; 7. gonapophyses gauches; 8. sclérite du 9^e sternite, déformé par écrasement. Echelles: 2, 1 mm; 1, 0,5 mm; 4, 7, 8, 0,1 mm; 3, 6, 50 μ .

Famille LIPOSCELIDAE ENDERLEIN

Liposcelis distinctus Badonnel, 1955

Station. — 3 km à l'ouest de Sangouiné, 10.III.1977, sous écorce, 1 ♀.

L'espèce, connue par une ♀ de l'Angola, n'a pas été retrouvée depuis sa description; l'exemplaire en diffère par une coloration plus pâle, avec tg abdominaux plus sombres latéralement que la teinte générale. Sculpture, chaetotaxie, tronc commun aux gonapophyses semblables, mais les aréoles du vertex sont limitées par un léger bourrelet continu et les dimensions sont supérieures: longueur du corps (en alcool) 1,19 mm; antenne 0,87 mm, f_1 57, f_2 80, f_3 84, f_4 82, f_5 59, f_6 62, f_7 51, f_8 55, f_9 43, f_{10} 47, f_{11} 44, f_{12} 49, f_{13} 60. V 256, P_4 85, $F(L)$ 292, $F(I)$ 148, T 208, t_1 87, t_2 35, t_3 52, S_1 48, S_{II} 43, Sa 77.

Seuls des échantillons importants provenant des deux origines permettraient de savoir s'il s'agit d'espèces (ou de sous-espèces) différentes.

Embidopsocus angolensis Badonnel, 1955

Station. — Comme l'espèce précédente, 3 ♀ ailées.

Famille ARCHIPSOCIDAE PEARMAN

Archipsocus longicornis Badonnel

Archipsocus ghesquierei longicornis Badonnel, 1955, p. 215, fig. 501.

Archipsocus longicornis, BADONNEL 1977 a, p. 129, fig. 39-42.

Station. — Cascade près Man, sur tronc d'arbre mort, 8.III.1977, 5 ♂, 6 ♀ *m*, 1 ♀ *br*, 1 ♀ *M*, 3 larves.

Cet échantillon permet de compléter la description de l'espèce, connue seulement par 1 ♂ et 6 ♀ angolais, dont la ♀ *M* holotype.

Nombre d'ocelles: 3 chez la ♀ *M*, la ♀ *br* et 2 ♀ *m*; 3, l'antérieur rudimentaire, chez une ♀ *m*, et 2 seulement chez 2 ♀ *m*; pas de corrélation entre ce nombre et la longueur des rudiments alaires chez les ♀ *m*; tous les ♂ sans ocelles.

Sensilles de f_1 : chez tous les exemplaires de l'échantillon, un sensille médian ou submédian, le second étant toujours dans la moitié proximale¹, soit très près du premier (5 cas), soit à peu près au quart proximal (5 cas), les 12 autres cas correspondant à des positions intermédiaires; symétrie observée chez 3 ♀ seulement. En outre f_1 n'a qu'un sensille chez un ♂, tandis que chez une ♀ le second sensille est dédoublé (anomalie déjà signalée chez une ♀ angolaise).

Chaetotaxie des gonapophyses et des paraproctes: voir tableau I.

La différence entre les moyennes des nombres de soies *M* et *L* est hautement significative, d'où $nM < nL$. Zone *A* des paraproctes: 2 trichobothries de chaque côté chez la ♀ *M*, 2 à gauche et 1 à droite chez la ♀ *br*, 1 à droite et 1 soie normale à gauche chez la ♀ *m* à ocelle antérieur rudimentaire, 1 soie de chaque côté chez les autres ♀ *m*. Aucun cas de symétrie n'a été observé pour les gonapophyses ou les zones *B* et *C* des paraproctes.

¹ Contrairement à ce qu'on observe chez 3 ♀ angolaises.

TABLEAU I

	Gonapophyses		Paraproctes	
	soies <i>M</i>	soies <i>L</i>	zone <i>B</i>	zone <i>C</i>
Extrêmes	17 10	25 11	5 1	22 10
Moyenne	13,1	18,7	2,68	16,16
<i>n</i>	25	25	25	26
σ	3,1	3,8	0,93	2,78
<i>v</i> %	20,3	20,5	34,7	17,2

Dimensions: voir tableau II, qui concerne tous les exemplaires angolais et ivoiriens.

TABLEAU II

	♀ ♀				♂ ♂			
	extrêmes	moyenne	<i>n</i>	σ	extrêmes	moyenne	<i>n</i>	σ
<i>V</i>	416-452	433,5	11	12,3	392-416	402,7	6	10
<i>D</i>	77-103	88,5	10	8	77-82	78,3	6	1,8
<i>F + tr</i>	416-488	456	12	22,4	408-432	422,7	6	8,5
<i>T</i>	428-536	492	11	35,1	448-472	461,3	6	11,5
<i>t</i> ₁	73-91	83,4	11	5,4	75-84	79,8	6	3,1
<i>t</i> ₂	90-93	93,3	11	3	88-95	90,7	6	2,6
<i>Ant</i>	804-920	849,2	5	9,4	800-824	812	5	10,1
<i>sc</i>	44-51	47,2	11	1,85	44-46	45,3	6	0,9
<i>p</i>	68-83	76,9	12	4,5	72-79	73,7	6	0,9
<i>f</i> ₁	91-112	102,2	12	5,9	95-108	100,2	6	14,1
<i>f</i> ₂	52-66	59,4	11	4,4	55-58	56,4	5	1,2
<i>f</i> ₃	55-70	62,5	11	4,7	55-64	59,4	5	0,7
<i>f</i> ₄	59-66	63,2	10	1,9	57-64	61,2	5	2,6
<i>f</i> ₅	55-67	60,2	10	2,4	57-62	58,6	5	1,9
<i>f</i> ₆	57-66	60,1	9	3	57-59	58,2	5	0,75
<i>f</i> ₇	58-63	56,6	8	3,8	53-57	55,4	5	1
<i>f</i> ₈	53-63	55,5	8	2,6	52-57	54,8	5	2,1
<i>f</i> ₉	52-63	56	7	3,7	51-55	52,2	5	1,5
<i>f</i> ₁₀	50-61	55,6	7	3,4	50-53	51,8	5	1,5
<i>f</i> ₁₁	79-85	81	6	1,9	74-82	79,4	5	2,8

Archipsocopsis aneura (Badonnel)

Station. — Comme l'espèce précédente, 1 ♀ *M*.

Archipsocopsis albofasciata (Badonnel)

Station. — Comme les deux espèces précédentes, 1 ♀ *M*.

Famille PSOCIDAE PEARMAN

Ptycta cruciata n. sp., ♀

Coloration. — Tête: vertex à fond pâle, avec *M* formé de taches brun chamois clair, presque confluentes le long des yeux; au milieu de chaque lobe une tache circulaire brun rouille (pigment épidermique); même pigment sur le front, moins dense entre les orbites antennaires et les ocelles; ceux-ci sur un tubercule brun noir; clypeus à fond brun clair, 8 bandes étroites brun foncé alternant avec des bandes brun chamois plus sombres que le fond; labre pâle, excepté une lunule marginale incolore bordée de brun noir; antennes (incomplètes): *sc* et *p* pâles, *f*₁ presque entièrement ocre clair, son apex brun; les autres articles (2 à 5) brun noir; palpes maxillaires: base et les 2 premiers articles pâles, le 3^e brunâtre, le 4^e brun sombre. Thorax: pronotum brun marron sombre; lobes tergaux II et III brun de poix brillant, largement bordés de blanc; pattes: hanches brun sombre, trochanters incolores, fémurs de même ventralement, avec 2 bandes brunâtres dorsalement; tibias jaune ocre très pâle, l'apex brun noir; tarses du même brun; aile antérieure (fig. 9): fond très faiblement enfumé, nervures brunes à l'exception de *cu*_{1b} et d'une courte interruption de *m* avant l'*AP*; taches brun sépia nuageuses conformes à la figure. Abdomen: fond très pâle; chaque tergite avec une bande transversale discontinue de pigment épidermique brun chocolat clair, d'où 3 bandes longitudinales colorées, une médiane et deux latérales, interrompues à la limite de chaque segment par un intervalle incolore; face ventrale pâle, les limites des sternites indiquées par une ligne de pigment; clunium brun très sombre.

Morphologie. — Yeux très volumineux, débordant le vertex en arrière: *IO/D* 1,37, *PO* 0,67, *D* 427 μ ; sensilles placoides du flagelle antennaire: 5 proximaux sur *f*₁, 1 à l'apex de *f*₂ et *f*₄. Aile antérieure: *rs* et *m* confluent en un point, *m* avec une nette inflexion subdistale, sommet de l'*AP* étroit, cellule *M*₃ très large, fourche radiale longue et étroite; des poils très fins et très courts sur la marge, le *PS* et les nervures de la moitié basale, sauf *cu*₂; aile postérieure glabre, à l'exception de 5 poils courts sur la marge de la fourche radiale. Genitalia: *PSG* (fig. 10) à languette distale longue et étroite, avec un arc de soies très denses et un dessin en croix caractéristique; sclérite du 9^e sternite réduit à un petit disque circulaire, le spermapore prolongé par un canal court aboutissant à une spermathèque à paroi membraneuse, remplie de spermatozoïdes (fig. 11); gonapophyses (fig. 12): valve externe hypertrophiée, avec un lobule latéral blanc pur recouvrant partiellement un second lobule prolongé par un cône distal très long. Apex abdominal (fig. 13): une vingtaine de trichobothries.

Dimensions. — Longueur du corps (en alcool, en extension) 4 mm. Aile antérieure 4,02 mm. Antenne: *f*₁ 920, *f*₂ 804, *f*₃ 656, *f*₄ 592, *f*₅ 504. Patte postérieure: *F* 879, *T* 1841, *t*₁ 568 (27 ctn), *t*₂ 210 (4 ctn).

Origine. — Comme *Palaeoseopsis loebli*, 1 ♀, holotype.

Discussion. — Appartient au groupe II défini en 1967 pour plusieurs espèces malgaches. Ce groupe comprend actuellement 5 formes de Madagascar, la plus proche

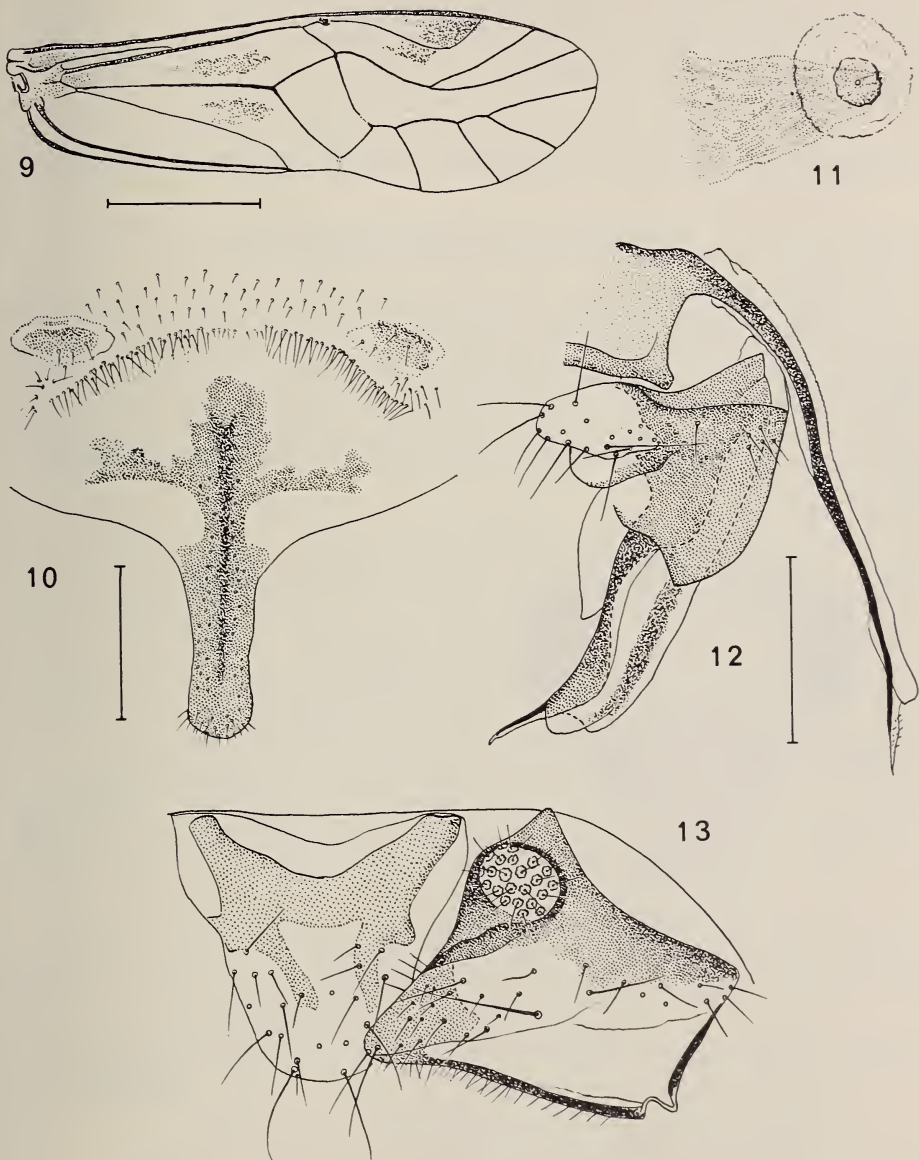


FIG. 9 à 13.

Ptycta cruciata n. sp., ♀: 9. aile antérieure droite; 10. plaque subgénitale; 11. sclérite du spermapore et début de la spermatheque; 12. gonapophyses droites; 13. épiprocte et paraprocte droit. Echelles: 9, 1 mm; 11, 12, 13, 0,2 mm (échelle commune); 10, 0,1 mm.

de *cruciata* par la *PSG*, les gonapophyses et la nervation de l'aile antérieure étant *P. descarpentriesi* Badonnel, 1977 *b*; *cruciata* en diffère par les dimensions, la plus grande longueur de la languette distale et le dessin de la *PSG*, ainsi que par les taches de l'aile antérieure, différentes aussi de celles de toutes les autres ♀ actuellement attribuées au genre, et qui appartiennent d'ailleurs au groupe I. Il est probable que le groupe II constitue un genre distinct de *Ptycta* (*Maheella* Enderlein?); mais le type de *Maheella* n'a pas été étudié morphologiquement, et on ne connaît d'autre part aucun ♂ qui puisse se rattacher au groupe II avec certitude.

COMPLÉMENTS A LA DESCRIPTION DE DEUX ESPÈCES CONNUES

Nepticulomima hoeseimanni (Enderlein), 1903

Station. — Comme l'espèce précédente, 4 ♀.

Un caractère morphologique important de la ♀ n'a pas encore été mentionné: présence d'une spermathèque à paroi membraneuse très mince percée de nombreux pores correspondant à des glandes périphériques (fig. 16), mais sans les deux glandes pariétales discoïdes présentes chez les *Thylacellidae sensu* Smithers et les *Trogiidae*; canal débutant par un sclérite complexe (même fig.) et se terminant dans un étui évasé (fig. 17). La tête présente des dessins typiques (fig. 14) et la lacinia est semblable à celle du ♂ (fig. 15).

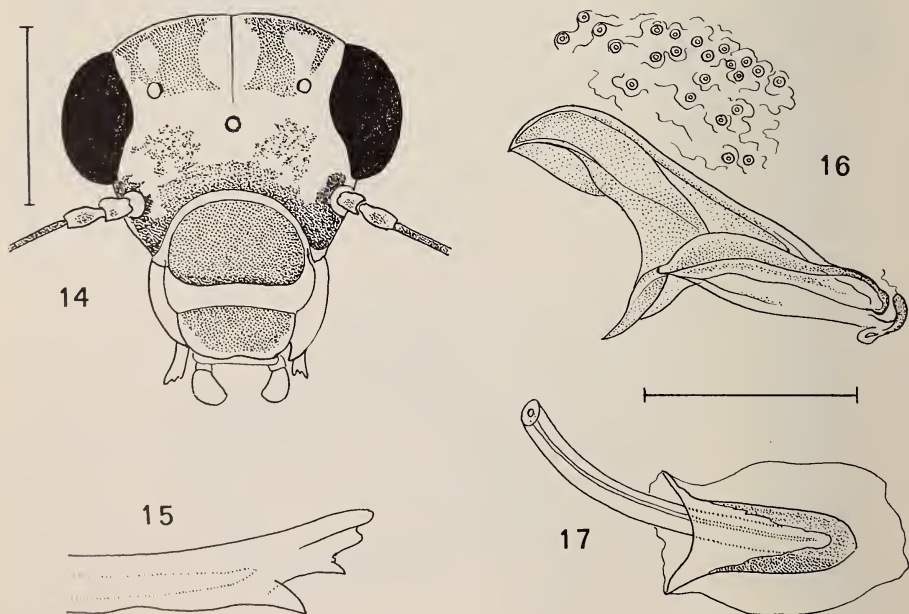


FIG. 14 à 17.

Nepticulomima hoeseimanni (Enderlein), ♀: 14. tête vue de face; 15. apex de la lacinia; 16. fragment de la membrane plissée de la spermathèque et sclérite de l'origine du canal; 17. extrémité distale de ce canal. Echelles: 14, 0,5 mm; 15, 16, 17, 0,1 mm (échelle commune).

Pachytroctes dichromoscelis Badonnel, 1949

Station. — Comme *Liposcelis distinctus*, 1 ♀ ailée.

Description de la ♀ ailée

Coloration. — Tête et thorax brun marron très sombre, y compris yeux, antennes, palpes (sauf l'apex de P_4 , éclairci) et pattes (tarses plus clairs); ailes brun marron, les postérieures moins foncées (fig. 18); abdomen: partie membraneuse très pâle, sclérites tergaux 2 et 8 brun marron, ainsi que le clunium et la *PSG*; stigmates brun noir.

Morphologie. — Sculpture: celle de la tête semblable à celle de la ♀ aptère, en particulier par les granulations échinoides du vertex (les granulations entre les ommatidies sont plus denses). Protergum: moitié antérieure avec aréoles fusiformes très étirées transversalement et finement granuleuses; moitié postérieure à grosses granulations espacées limitant des aréoles polygonales; mesotergum: notum à granules très denses, lobes latéraux avec aréoles polygonales limitées par des granules; metatergum à aréoles semblables, mais plus petites et plus finement granuleuses. Tergites sclérifiés de l'abdomen comme la moitié antérieure du protergum.

Pilosité très fine, courte et espacée sur le vertex et les tergites thoraciques; yeux glabres.

Autres caractères. Forme de la tête semblable à celle de la ♀ aptère (cf. fig. 28, Badonnel, 1949 et fig. 22, ♂ *infra*), les yeux plus volumineux atteignant le bord postérieur du vertex; 3 ocelles, l'antérieur plus petit; antennes annelées à partir de f_5 inclus; palpe maxillaire: P_4 à apex acuminé, avec 3 sensilles claviformes hypertrophiés, 2 plus petits et 3 sétiformes (fig. 19); lacinias comme celles de la ♀ aptère. Aile antérieure: moitié distale très élargie, contrastant avec l'étroitesse relative de la moitié proximale; quelques poils très courts et très espacés, visibles seulement à un fort grossissement, sur la marge et toutes les nervures, à l'exception de cu_{1b} ; rs et m confluent en un point dans l'aile droite, reliés par une très courte nervule dans la gauche; AP longue et haute, cu_{1a} incurvé; aile postérieure entièrement glabre, cu_2 incolore. *PSG* à zone sclérifiée s'étendant jusqu'au niveau du 6^e segment, son bord antérieur avec une échancrure large mais peu profonde; canal de la spermathèque très fin, débouchant au centre d'un sclérite limité par un anneau brun circulaire; gonapophyses comme celles de la ♀ aptère. Apex abdominal: fig. 20 et 21.

Dimensions. — Longueur du corps (sur préparation, en extension) 1,78 mm. Antenne (incomplète): f_1 140, f_2 116, f_3 124, f_4 119, f_5 79, f_6 79, f_7 60, f_8 58. Aile antérieure 1,30 mm; aile postérieure 1,07. V 348, P_4 95, D 110, $F + tr$ 432, T 456, t_1 216, t_2 44, t_3 66; tarses mesurés de condyle à condyle.

Origine. — 3 km à l'ouest de Sangouiné, 10.III.1977, 1 ♀, sous écorce; désignée comme paratype.

Description du ♂

Coloration. — Fig. 22. Tête entièrement brun marron, y compris la base des antennes qui sont ensuite progressivement plus claires; palpes plus pâles; protergite thoracique comme la tête, méso- et métatergites et tg 1 abdominal blanc pur; autres tg abdominaux brun marron, séparés par d'étroites bandes membraneuses incolores. Pattes semblables à celles de la ♀ aptère, la zone brune des tibiais moins étendue, surtout

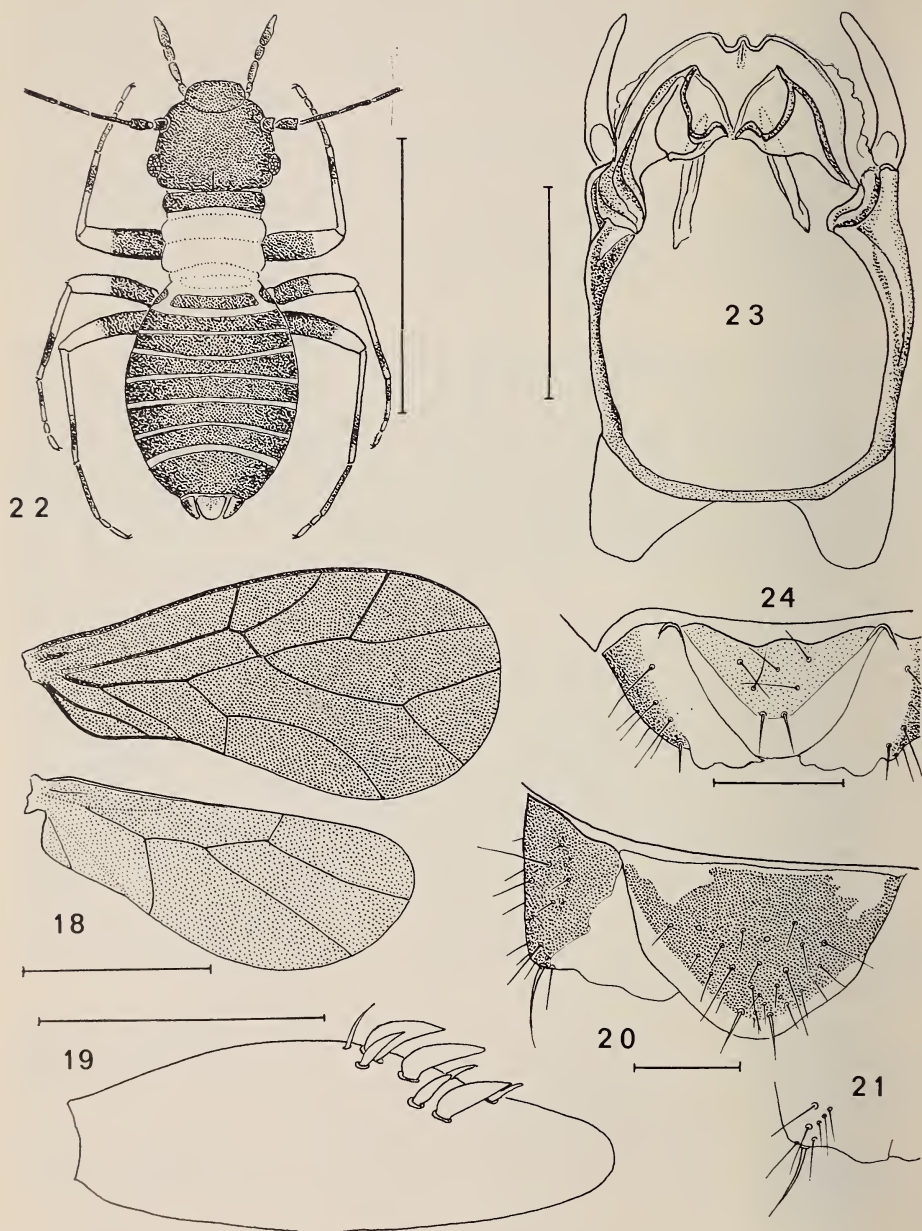


FIG. 18 à 24.

Pachytroctes dichromoscelis Badonnel. ♀: 18. ailes droites; 19. 4^e article du palpe maxillaire, pilosité non figurée; 20. épiprocte et paraprocte gauche, vue dorsale; 21. angle postérieur du paraprocte droit, vue ventrale. ♂: 22. habitus; 23. phallosome, dessiné in situ; 24. apex abdominal. Echelles: 18, 22, 0,5 mm; 23, 0,1 mm; 19, 20, 24, 50 μ .

sur T_{III} . Face ventrale de l'abdomen: sternites antérieurs incolores jusqu'au 5^e segment inclus, les autres sternites fusionnés en une large plaque brun marron, non échancrée antérieurement. Apex abdominal: épiprocte divisé en une zone antérieure brunâtre pâle encadrée par un croissant postéro-latéral incolore; paraproctes brun marron latéralement, incolores ventralement et dorsalement (fig. 24).

Morphologie. — Sculpture: vertex et front à granulations brun noir aiguës, denses, quelques-unes du type échinoidé; des granulations semblables, espacées, entre les ommatidies; sur le clypeus, granules plus petits et plus serrés, groupés en aréoles polygonales à limites peu nettes; protergite thoracique à granulations échinoides plus grosses et plus espacées que celles du vertex; celles des méso- et métatergites incolores et plus irrégulières; tergites abdominaux sclérifiés à granulations aiguës et denses, groupées en aréoles fusiformes très étirées transversalement.

Pilosité comme celle de la ♀ ailée.

Autres caractères. Aptère, sans ocelles; yeux petits, à ommatidies peu nombreuses (une vingtaine); sutures du vertex indiquées par des granules plus petits et alignés en files, la suture médiane nette postérieurement; antennes annelées à partir de f_5 inclus; P_4 avec les mêmes sensilles que ceux de la ♀ ailée, mais beaucoup plus petits. Phallosome (fig. 23) en cadre subrectangulaire, avec angles proximaux arrondis, prolongés par deux larges apodèmes d'insertion des muscles rétracteurs; cadre fermé distalement par un arc présentant une incisure interrompue médialement par un petit lobule; deux sclérites internes dilatés distalement et articulés avec les bras fixes des paramères; deux baguettes rectilignes endophalliques plus faiblement sclérifiées. Apex abdominal figure 24.

Dimensions. — Longueur du corps (sur préparation) 0,94 mm; antenne (incomplète): f_1 83, f_2 71, f_3 77, f_4 75, f_5 55, f_6 55, f_7 46, f_8 44, f_9 47. V 228, P_4 66, D 62, $F + tr$ 248, T 256, t_1 135, t_2 38, t_3 60.

Origine. — Brésil, Mato Grosso Expedition, sur le mur en bois d'une hutte, 10.III.1969, 1 ♂, désigné comme allotype (I. New coll.).

DISCUSSION

Les similitudes entre les colorations du thorax et des pattes du ♂ brésilien et de la ♀ aptère type, ainsi que la forme de la tête, permettent d'attribuer le ♂ à l'espèce *dichromoscelis*; par contre, le dimorphisme très accentué qui sépare femelles aptères et femelles ailées dans le genre *Pachytroctes* exclut l'utilisation du critère de la coloration pour identifier la femelle ailée; les seuls caractères valables sont fournis par la sculpture de la tête et les genitalia; ils sont concordants ici; on peut y ajouter la forme de la tête et le fait que, chez le ♂ comme chez la ♀ ailée, le flagelle antennaire est annelé à partir de f_5 inclus, ce qui n'est connu jusqu'à présent chez aucune autre espèce du genre (les flagelles manquaient chez la ♀ aptère type, et c'est par une extrapolation incorrecte que j'ai rangé en 1969 cette ♀ dans la liste des espèces à flagelle annelé à partir de f_4). Par ce caractère, par la forme de l'aile antérieure et par l'hypertrophie des sensilles de P_4 , *P. dichromoscelis* occupe dans le genre une position singulière. Sa présence des deux côtés de l'Atlantique ajoute un exemple à ceux déjà connus concernant plusieurs espèces de Nanopsocetae (BADONNEL 1974, p. 271).

TRAVAUX CITÉS

- BADONNEL, A. 1949. Psocoptères de la Côte d'Ivoire, Mission Paulian-Delamare (1945). *Revue fr. Ent.* 16 (1): 20-46, 61 fig.
- 1955. Psocoptères de l'Angola. *Publçoes cult. Co. Diam. Angola* 26: 1-267, 625 fig.
- 1967. Insectes Psocoptères. *Faune de Madagascar* 23: 235 p.
- 1969. Psocoptères de l'Angola et de pays voisins, avec révision de types africains d'Enderlein (1902) et de Ribaga (1911). *Publçoes cult. Co. Diam. Angola* 79: 1-152, 259 fig.
- 1974. Psocoptères infestant les denrées alimentaires à Kinshasa (République du Zaïre). *Revue Zool. Bot. afr.*, 88 (2): 241-280, 53 fig.
- 1977a. Psocoptères de l'Angola: V. *Publçoes cult. Co. Diam. Angola* 89: 103-152, 97 fig.
- 1977b. Compléments à l'étude des Psocoptères de Madagascar, *Bull. Mus. natn. Hist. nat., Paris*, 3^e sér., n° 410, Zool. 287: 1143-1198, 169 fig.
- ENDERLEIN, G. 1903. Neue Copeognathen aus Kamerun. *Zool. Jb. Abt. Syst.*, 19: 1-8, pl. I.
- SMITHERS, C. N. 1972. The classification and phylogeny of the Psocoptera. *Mem. Aust. Mus.* 14: 1-349.

Adresse de l'auteur :

Laboratoire de Zoologie (Arthropodes)
Muséum national d'Histoire naturelle
61, rue Buffon
F-75005 Paris, France
